

## بررسی ویژگی‌های فیزیکی نانوذرات زیرکونات سرب خالص و آلاییده شده با باریم، سنتز شده به روش سل-ژل احتراقی

غلامحسین خرمی<sup>۱</sup>، بی‌بی ملیحه موسوی<sup>۱</sup>، محمد علی نژاد مفرد<sup>۲</sup>

۱- گروه فیزیک، دانشکده علوم پایه، دانشگاه بجنورد، بجنورد، ایران

۲- گروه ریاضی، دانشکده علوم پایه، دانشگاه بجنورد، ایران

(دریافت مقاله: ۱۴۰۲/۵/۱۸، نسخه نهایی: ۱۴۰۲/۷/۱۲)

**چکیده:** در این پژوهش، نانوذرات تیتانات زیرکونات سرب خالص و آلاییده شده با باریم به روش سل-ژل احتراقی سنتز شده و ویژگی‌های ساختاری، نوری و الکتریکی آنها بررسی گردید. نتایج بررسی‌های ساختاری نشان داد که نمونه‌ها دارای ساختار بلوری چارگوشی با اندازه بلورک‌های حدود ۲۰ تا ۳۰ نانومتر هستند. برای محاسبه ثابت‌های شبکه و میانگین اندازه نانو بلورک‌ها به ترتیب از روش‌های کوهن و نمودار اندازه-کرنش استفاده شد. از میکروسکوپ‌های الکترونی عبوری و روپشی برای تعیین اندازه و ریختار نانوذرات استفاده گردید که بر این اساس اندازه دانه‌ها حدود ۲ الی ۳ میکرومتر است. ویژگی‌های نوری نمونه‌ها بر پایه روابط کرامرز-کرونیک و بیناب-های تبدیل فوریه فروسرخ تعیین شد. گاف نوری نمونه‌ها براساس رابطه کوبلاک-مونک حدود ۳/۵ الکترون ولت برآورد شد. ثابت دی-الکتریک نمونه‌های خالص و آلاییده به ترتیب ۱۰۵۰ و ۵۷۰ در بسامد ۱۰۰ هرتز بدست آمد.

**واژه‌های کلیدی:** تیتانات زیرکونات سرب؛ نانوذرات؛ سل-ژل احتراقی؛ روش کوهن؛ روابط کرامرز-کرونیک.

پتاسیم نیوبایت و سدیم بیسموت تیتانات از نظر زیست محیطی بی خطرتر است [۶]. روش معمول برای تهیه پودر PZT، روش حالت جامد است که در آن از اکسیدهای تیتانیوم، زیرکونیوم و سرب استفاده می‌شود. این روش مشکل‌هایی چون دمای تکلیس بالا، تغییرات فاز زیاد طی مخلوط کردن اکسیدها و عدم تناسب عنصری دارد [۱]. برای رفع این مشکل‌ها باید دمای گرمادهی تا حد امکان، پایین آورده شود تا سرب از ترکیب فرار نکرده و کیفیت فراورده پایانی بهبود یابد. با روش-های شیمیایی چون سل-ژل و همروبوی می‌توان افزون بر پایین‌تر آوردن دمای تکلیس، اندازه ذرات را نیز کاهش داد که منجر به چگالش بهتر سرامیک‌های نهایی می‌شود [۷]. به دلیل پرکاربرد بودن PZT در صنعت، پژوهش‌های بسیاری برای بالا بردن عملکرد سرامیک‌های تیتانات زیرکونات سرب انجام شده است. پژوهشگران نشان دادند که با جایگزینی جزئی کاتیون‌های مختلف در ساختار بلوری PZT، می‌توان ضرایب

### مقدمه

در دهه‌های گذشته، مواد پیزوالکتریک به دلیل دارا بودن ویژگی‌های قابل توجه در شاخه‌های گوناگون صنعت چون پیشکی، نظامی و الکترونیک به طور گسترده به کار رفته‌اند [۱]. در این بین، خانواده تیتانات زیرکونات سرب (PZT) به دلیل داشتن ضریب جفت شدگی الکترومکانیکی بالا و همچنین ثابت پیزوالکتریک بالا بسیار مورد توجه است [۲]. به دلیل نگرانی دانشمندان از آثار مخرب سرب بر محیط زیست، در سال ۲۰۰۳ اتحادیه اروپا تیتانات زیرکونات سرب را از مواد خطرناکی که باید با مواد سازگار با محیط زیست جایگزین شوند، معرفی کرد [۳-۵]. اگر چه جامعه علمی به این دلیل در پی مواد پیزوالکتریک بدون سرب با ویژگی‌های قابل مقایسه با PZT بوده است، پژوهش‌های اخیر ابن محمد و همکارانش پیرامون آثار زیست محیطی مواد پیزوالکتریک نشان داد که PZT نسبت به برخی از جایگزین‌های بدون سرب فعلی چون سدیم

\*نویسنده مسئول، تلفن: ۰۹۱۵۶۴۵۵۷۱۹، پست الکترونیکی: khorrami1983@gmail.com

$$\frac{\text{اسید سیتریک}}{\text{کاتیون های قلزی}} = \frac{1/3}{2/5} \quad (2)$$

محلول های کاتیون ها به آرامی به محلول پایه افزوده و پس از رساندن pH محلول به ۷ با آمونیوم، برای یکنواختی محلول به مدت ۲ ساعت تقطیر شد. سل به دست آمده با گرمادهی در دمای ۸۰ درجه سانتیگراد به ژل تبدیل شده و سپس فرآیند سوختن ژل در دمای ۱۵۰ درجه سانتیگراد انجام شد. پودر سیاه رنگ به دست آمده از احتراق، پس از آسیاب کردن، در کوره الکتریکی ۵۰۰ درجه سانتیگراد با آهنگ ۴ درجه بر دقیقه به مدت ۴ ساعت تکلیس شد تا نانوذرات مورد نظر شکل گیرند. برای اندازه گیری ویژگی های سرامیکی، نانوپودرهای سنتز شده با پرس هیدرولیکی در فشار ۲۵۰ مگاپاسکال به شکل قرص های استوانه ای به قطر ۱۱ میلی متر درآمدند. سپس آنها به مدت ۲ ساعت در دمای ۱۲۵۰ درجه سانتیگراد تفحوشی شدند.

رفتار گرمایی و فرآیند تشکیل ساختار پروسکایت با گرما وزن سنجی (TGA) بررسی گردید. برای تعیین ساختار بلوری ADVANCE-PD-1000 از دستگاه پراش پرتو ایکس (XRD) مدل BRUKER D8 استفاده شد. ریختار نمونه ها از میکروسکوپ الکترونی عبوری (TEM) مدل Leo 912AB و میکروسکوپ الکترونی روبشی (SEM) مدل Leo 1450VP بررسی شد. به منظور مشخصه یابی نوری، از دستگاه های بیناب سنج تبدیل فوریه فروسرخ (FTIR) و نورسنج فرابنفش - مرئی (UV-Vis) مدل Shimadzo-1800 استفاده گردید.

#### بحث و بررسی

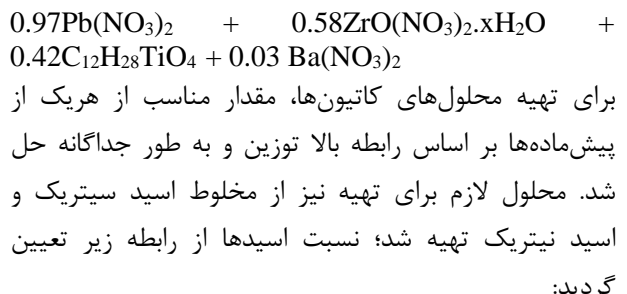
برای بررسی فرآیند تکلیس و انتخاب دمای مناسب آن، از روش گرما وزن سنجی (TGA) استفاده شد. نمودار TGA خاکستر به دست آمده از احتراق در شکل ۱ آورده شده است که نمودار کاهش جرم و آهنگ کاهش جرم را بر حسب دما در گستره دمای اتاق تا ۸۰۰ درجه سانتیگراد را نشان می دهد. چنان طور که دیده می شود، سه ناحیه کاهش جرم مجزا در گستره های دمای اتاق تا ۲۸۰ درجه سانتیگراد، ۲۸۰ تا ۴۱۰ سانتیگراد و ۴۱۰ تا ۴۸۰ سانتیگراد وجود دارد که به ترتیب مربوط به تبخیر حللا، تجزیه مواد آلی و شکل گیری ساختار پروسکایت هستند. پس از دمای ۵۰۰ درجه سانتیگراد تغییرات محسوسی در کاهش وزن مشاهده نمی شود که نشان دهنده تشکیل کامل ساختار پروسکایت است. برای بررسی بیشتر بر

پیزوالکتریکی آن را بهبود بخشید. از جمله عناصری که در این راستا بررسی شده است می توان به Nd Sr Mg Mn و Ba اشاره کرد [۱۰-۱۱]. تیتانات زیرکونات سرب همچنین یک ماده ممکن برای دستگاه های الکترونیکی نوری است که از جمله کاربردهای آن می توان به محدود کننده های نوری، نوربندها و آشکارساز های متمنکر کننده خودکار اشاره کرد [۱۱]. یک مزیت مهم مواد بر پایه PZT تولید ارزان و راحت آنها به عنوان قطعه های نورتاب برای استفاده در نمایشگرهای مختلف، تیتانات زیرکونات سرب به عنوان شبکه میزبان انتخاب شده و با یون های مختلف آلاییده می شود. برخلاف پژوهش های بسیار پیرامون ویژگی های پیزوالکتریکی تیتانات زیرکونات سرب خالص و آلاییده، توجه کمی به ویژگی های نوری این مواد شده است.

از آنجا که گزارشی پیرامون اثر باریم بر ویژگی های نوری نانوپودر تیتانات زیرکونات سرب نیافتیم، در این پژوهش برای نخستین بار، اثر باریم بر ویژگی های ساختاری، نوری و الکتریکی نانوپودر تیتانات زیرکونات سرب با فرمول شیمیایی  $(\text{Pb}_{0.97}\text{Ba}_{0.03})(\text{Zr}_{0.52}\text{Ti}_{0.48})\text{O}_3$  بررسی شد.

#### روش تجربی

در این پژوهش، نانوذرات تیتانات زیرکونات سرب خالص و آلاییده با باریم (Pb<sub>1-x</sub>Ba<sub>x</sub>Zr<sub>0.52</sub>Ti<sub>0.48</sub>O<sub>3</sub>) با  $x=0, 0.03$  به روش سل ژل احتراقی سنتز شدند. از نیترات سرب  $\text{Pb}(\text{NO}_3)_2$ ، ایزوپروپوکسید تیتانیوم  $\text{C}_{12}\text{H}_{28}\text{TiO}_4$  و نیترات باریم  $\text{Ba}(\text{NO}_3)_2$  به عنوان پیش ماده و همچنین از اسیدهای سیتریک و نیتریک نیز به ترتیب به عنوان عامل پلیمر ساز و پایدار کننده استفاده گردید. همه پیش ماده ها با درجه خلوص ۹۸ درصد از شرکت سیگما آلدريج تهیه شدند. نمونه ها بر پایه واکنش کلی زیر تشکیل شدند:



محاسبه شبیه خط برآش شده بر آن، انرژی فعال‌سازی را محاسبه کرد. انرژی فعال‌سازی تشکیل ساختار پروسکایت برای نانوذرات تیتانات زیرکونات سرب سنتز شده،  $300 \text{ kJmol}^{-1}$  به دست آمد. در پژوهش‌های دیگران، این عدد بین ۲۹۵ تا ۴۹۴  $\text{kJmol}^{-1}$  گزارش شده که این تفاوت به علت استفاده از پیش‌ماده‌ها و روش‌های ساخت متفاوت است [۱۴، ۱۵]. نتایج TGA نشان می‌دهد که کمترین دمای تکلیس مورد نیاز برای شکل‌گیری ساختار بلوری حدود ۵۰۰ درجه سانتیگراد است. از این رو، دمای ۵۰۰ درجه سانتیگراد برای تکلیس انتخاب گردید.

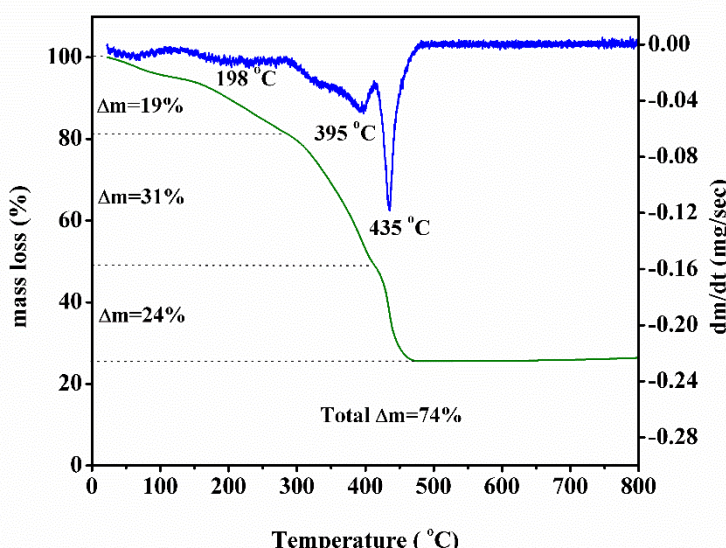
روی سینیتک تشکیل ساختار پروسکایت، انرژی فعال‌سازی این فرآیند با روش کوتز-ردفن محاسبه شد [۱۳]:

$$\ln\left(-\frac{\ln(1-\alpha)}{T^2}\right) = \ln\left\{\frac{AR}{\beta E_a}\left(1 - \frac{2RT}{E_a}\right)\right\} - \frac{E_a}{RT} \quad (3)$$

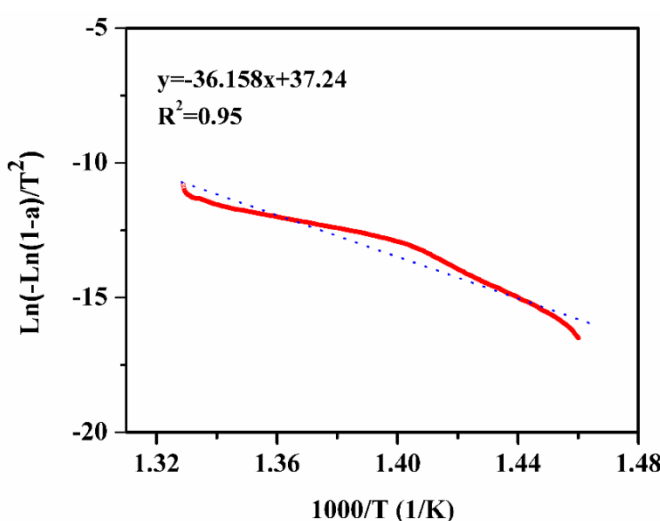
که  $R$  و  $T$  به ترتیب ثابت جهانی گازها و دما بر حسب کلوین هستند و  $\alpha$  از رابطه زیر به دست می‌آید.

$$\alpha = \frac{m_0 - m_T}{m_0 - m_F} \quad (4)$$

در اینجا  $m_0$ ،  $m_T$  و  $m_F$  به ترتیب جرم ماده در آغاز واکنش، در دمای  $T$  و در پایان واکنش هستند. چنان‌که در شکل ۲ آورده شده است، می‌توان با رسم طرف چپ رابطه (۳) بر حسب  $T^{-1}$  و



شکل ۱ نمودار TGA خاکستر تیتانات زیرکونات سرب سنتز شده.



شکل ۲ نمودار محاسبه انرژی فعال‌سازی.

$$\sin^2 \theta = \frac{\lambda^2}{4} \left( \frac{h^2+k^2}{a^2} + \frac{l^2}{c^2} \right) \quad (5)$$

که  $\lambda$  طول موج پرتوی ایکس به کار رفته،  $\theta$  زاویه قله پراش و  $a$  و  $k$  و  $h$  شاخص های میلر آن قله هستند. بیشتر خطاهای سامان مند با  $\cos^2 \theta$  متناسب هستند [۱۶]. با وارد کردن تابع خطای داریم:

$$\sin^2 \theta - \frac{\lambda^2(h^2+k^2)}{4a^2} - \frac{\lambda^2 l^2}{4c^2} = -2K \sin \theta \cos^2 \theta \quad (6)$$

که با بازنویسی آن و وارد کردن متغیرهای جدید می شود:

$$\sin^2 \theta = A\delta + B\gamma + C\alpha \quad (7)$$

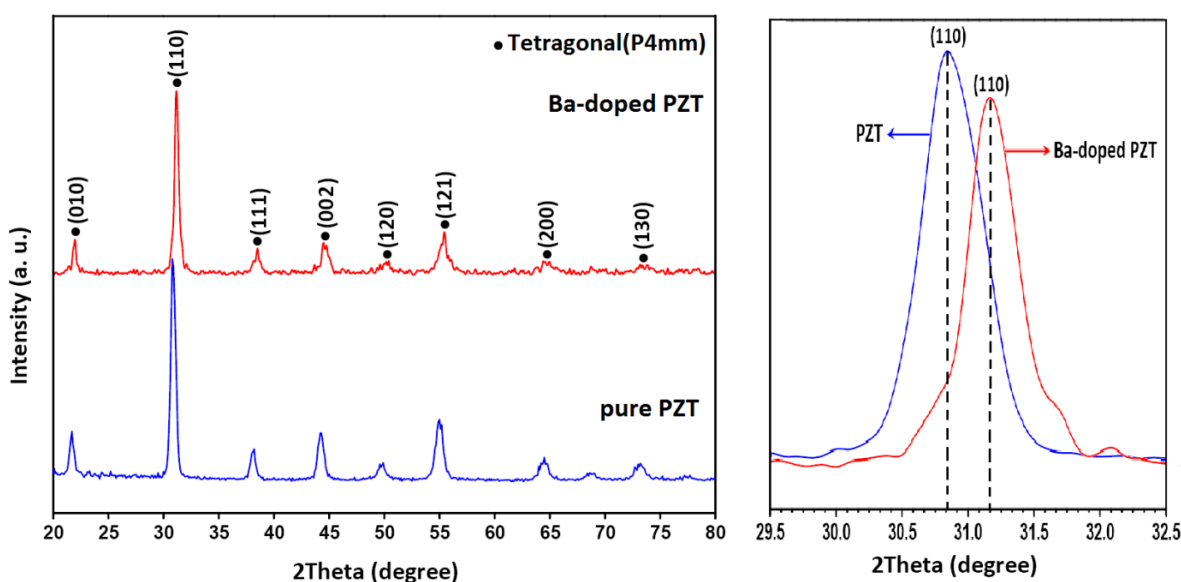
که در آن

$$C = \frac{\lambda^2}{4c^2}, A = h^2 + k^2, B = \frac{\lambda^2}{4a^2}, \gamma = l^2, \alpha = -2K, \delta = \sin \theta \cos^2 \theta \quad (8)$$

مقادیر  $A$ ،  $B$  و  $C$  به روش کمترین مربعات با استفاده از نرم افزار متلب محاسبه و به کمک آنها، ثابت های شبکه به دست آمدند (جدول ۱). دو عامل اصلی اندازه بلورک ها و کرنش شبکه در پهن شدن قله های برآگ نقش دارند که با استفاده از روش نمودار اندازه-کرنش (SSP) و رابطه زیر می توان هر دو را محاسبه کرد [۱۸، ۷، ۳]:

$$(d_{hkl} \beta \cos \theta)^2 = \frac{K}{D} (d_{hkl}^2 \beta \cos \theta) + \frac{\varepsilon^2}{4} \quad (9)$$

الگوهای پراش پرتو ایکس نانوپودرهای  $Pb_{(1-x)}Ba_xZr_{0.52}Ti_{0.48}O_3$  در شکل ۳ آورده شده است. نتایج مشخصه یابی ساختاری نمونه ها نشان می دهد که آنها دارای ساختار بلوری چارگوشی با گروه فضایی  $P4mm$  هستند و هیچ قله ای پراشی مربوط به فازهای ناخواسته و ناخالصی دیده نشد. قله های پراش نمونه ها با کارت استاندارد JCPDF با شماره ۰۷۸۴-۳۳-۰۰۰ همخوانی دارد [۱۵]. چنان که در شکل ۳ دیده می شود، قله های پراش اصلی نمونه آلاییده شده به سمت زوایای بزرگتر جابه جا شده، که به دلیل تفاوت شعاع یونی کاتیون باریم ( $1.35 \text{ \AA}$ ) و کاتیون سرب ( $1.49 \text{ \AA}$ ) است [۶]؛ همچنین از شدت آن نیز کاسته شده که نشان دهنده کاهش بلورینگی و وجود بی نظمی بیشتر در ساختار است که این ها می توانند به علت افزایش کرنش شبکه و عیوب ساختاری باشد. در مشخصه یابی ساختاری، خطاهای سامان مند بسیاری به دلایل مختلف از جمله جابجایی نمونه و جذب نمونه وجود دارد [۱۶]. در این پژوهش از روش کوهن که یک روش برونویانی بر اساس روش کمترین مربعات است برای در نظر گرفتن سهم این خطاهای در محاسبه ثابت های شبکه استفاده شد [۱۵]. برای ساختار بلوری چارگوشی [۱۷]:



شکل ۳ الگوی پراش پرتو ایکس نانوپودرهای سنتز شده.

جدول ۱ خلاصه نتایج به دست آمده از مشخصه‌یابی ساختاری نانوذرات سنتر شده.

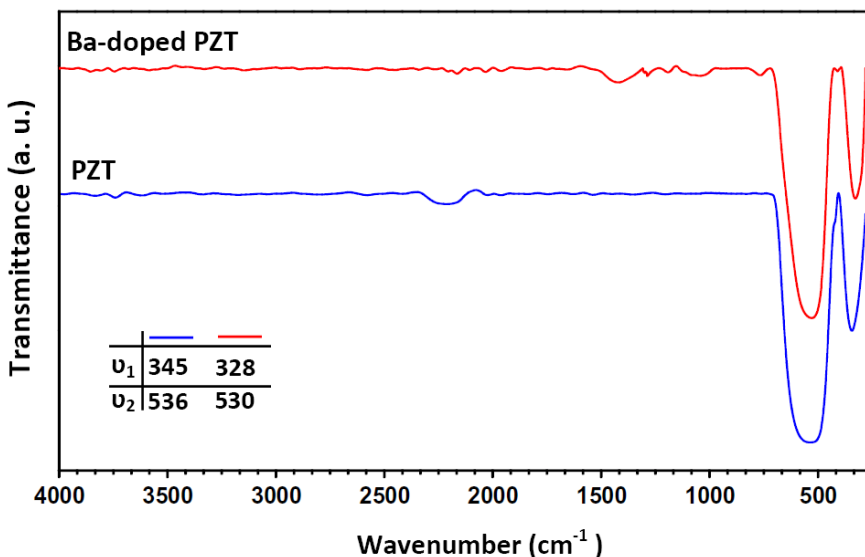
مرجع	$\rho$ (g/cm <sup>3</sup> )	$\epsilon$	$10^{11} \times \delta$ (1/cm <sup>2</sup> )	D (nm)	V (Å <sup>3</sup> )	ثابت شبکه		hkl	FWHM (°)	2θ (°)	
						c/a	a(Å)				
این پژوهش	۸,۲۹	۰,۰۲	۲,۰۹	۲۱,۸۵	۶۵,۲۱	۱,۰۱۲	۴,۰۰۸۷	۱۱۰	۰,۳۹۳۶	۳۱,۰۸۶۲	PZT
این پژوهش	۸,۱۸	۰,۰۴	۰,۶۹	۳۸,۰۸	۶۵,۶۳	۱,۰۱۵	۴,۰۱۲۹	۱۱۰	۰,۳۹۳۶	۳۱,۱۹۱۵	آلاییده Ba
[۲۵]	--	--	--	۳۲,۵۲	--	۱,۰۳۱	۴,۰۰۶	۱۱۰	۰,۲۲۹	۳۱,۱۳	PZT
[۲۱]	--	--	--	۲۷,۵۲	--	۱,۰۳	۴,۰۱۵۷	۱۱۰	۰,۴۲۴	۳۱,۰۵	PZT

$$\rho = \frac{nM}{N_a V} \quad (11)$$

که  $n$  تعداد اتم‌ها در یاخته یکه،  $M$  جرم مولی نمونه،  $N_a$  عدد آوگادرو و  $V$  حجم یاخته یکه است [۱۹]. در شکل ۴، بیناب‌های FTIR نمونه‌ها آورده شده است. در بیناب‌های هر دو نمونه، دو کمینه عبور اصلی دیده می‌شود که از مشخصه‌های ساختارهای پروسکایت است [۶، ۷، ۲۰]. این کمینه‌ها به مدهای کششی (۷) و خمشی (۷) ساختار  $\text{MO}_6$  اشاره دارند. همچنین، میانگین اندازه بلورک‌ها با افزوندن باریم افزایش می‌یابند. همچنان، چگالی درفتگی ( $\delta$ ) و چگالی نانوذرات سنتر شده براساس داده‌های پرتو ایکس و رابطه‌های زیر محاسبه و در جدول ۱ آورده شدند.

که در آن،  $D$  میانگین اندازه بلورک‌ها،  $\theta$  زاویه برآگ،  $\beta$  پهنا در نیم ارتفاع بیشینه قله (FWHM) بر حسب رادیان و  $\epsilon$  کرنش شبکه هستند. با رسم نمودار  $(d_{hkl}\beta \cos \theta)^2$  نسبت به  $d_{hkl}^2 \beta \cos \theta$  و برآش خطی نقاط، می‌توان میانگین اندازه بلورک‌ها و کرنش شبکه را به ترتیب با استفاده از مقادیر شبیب و عرض از مبدأ خط برآش شده، محاسبه کرد. نتایج به دست آمده در جدول ۱ آورده شده است. چنان که دیده می‌شود، کرنش شبکه و میانگین اندازه بلورک‌ها با افزوندن باریم افزایش می‌یابند. همچنان، چگالی درفتگی ( $\delta$ ) و چگالی نانوذرات سنتر شده براساس داده‌های پرتو ایکس و رابطه‌های زیر محاسبه و در جدول ۱ آورده شدند.

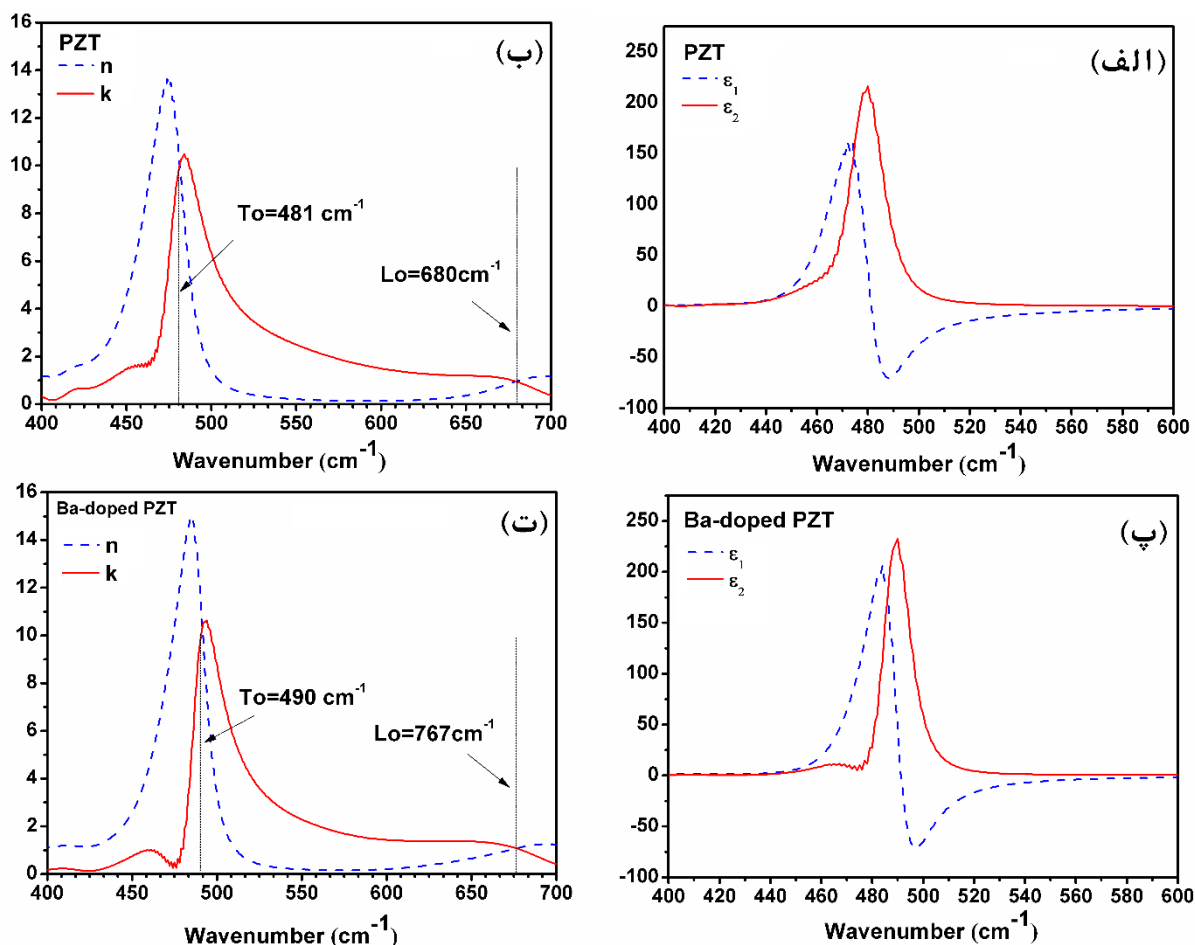
$$\delta = \frac{1}{D^2} \quad (10)$$



شکل ۴ بیناب‌های FTIR نانوپودرهای سنتر شده.

اندازه ذرات باشد. فونون‌های اپتیکی طولی (LO) و عرضی (TO) در توصیف برهمکنش نور با بلور بسیار مهم هستند. چنان‌که در شکل ۵ دیده می‌شود، منحنی‌های  $n$  و  $k$  در دو نقطه هم را قطع می‌کنند، نخستین نقطه که در اعداد موج کوچکتر قرار دارد مقدار TO و دومین نقطه تقاطع مقدار مد LO را مشخص می‌کند. خلاصه نتایج به دست آمده از بیناب-FTIR در جدول ۲ آورده و با گزارش‌های دیگران مقایسه شده است.

شکل ۵، نمودارهای محاسبه شده برای بخش‌های حقیقی و موهومی تابع دیالکتریک ( $\epsilon_1$  و  $\epsilon_2$ )، ضریب شکست ( $n$ ) و ضریب خاموشی ( $k$ ) نمونه‌ها در گستره‌ی اعداد موج ۴۰۰ تا  $۷۰۰\text{ cm}^{-1}$  را نشان می‌دهد. تابع دیالکتریک نشان دهنده‌ی پاسخ ماده به عوامل خارجی است. قله‌ای که در نمودارهای  $\epsilon_2$  وجود دارد، نشان می‌دهد که در آن بسامدها، بیشترین اختلاف در ماده وجود دارد، با افزودن باریم، این قله کمی جایه‌جا شده است که می‌تواند به علت اختلاف شاعر یونی و تغییر



شکل ۵ نمودار ضرایب نوری بر حسب عدد موج برای نانوپودرهای (الف و ب) تیتانات زیرکونات سرب خالص و (پ و ت) آلاییده شده با باریم.

جدول ۲ خلاصه نتایج به دست آمده از روابط کرامز-کرونیک.

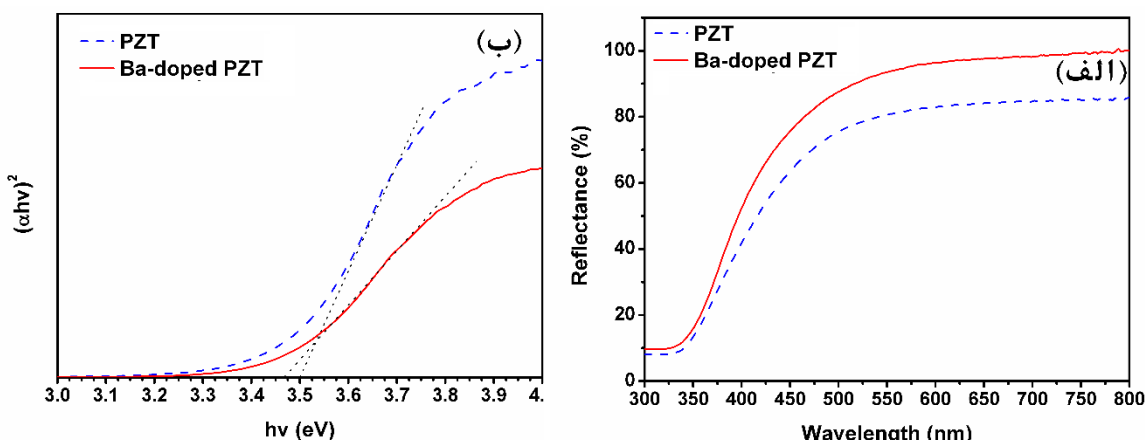
مرجع	ضریب شکست ( $n$ )	ضریب عرضی ( $\text{cm}^{-1}$ )	مد اپتیکی طولی ( $\text{cm}^{-1}$ )	مد اپتیکی طولی ( $\text{cm}^{-1}$ )	$v_2$ ( $\text{cm}^{-1}$ )	$v_1$ ( $\text{cm}^{-1}$ )	
این پژوهش	۱/۱۹	۴۸۱	۶۸۰	۵۳۶	۳۵۴		PZT
این پژوهش	۱/۱۲	۴۹۰	۷۶۷	۵۳۰	۳۲۸		Ba آلاییده PZT
[۲۲]	--	۵۰۱	۷۷۱	۵۵۲	--		PZT
[۲۱]	--	۴۹۷	۶۷۹	۵۳۶	--		PZT
[۷]	--	۴۹۸	۶۷۶	۵۴۰	۳۴۶		Mn آلاییده PZT

آمد. که با گزارش‌های دیگران همخوانی خوبی دارد [۱۱، ۷]. به منظور بررسی ریختار نانوذرات سنتز شده، تعیین میانگین اندازه‌ی ذرات و نیز چگونگی توزیع آن‌ها از میکروسکوپ الکترونی عبوری استفاده شد. تصویر TEM نمونه تیتانات زیرکونات سرب خالص در شکل ۷ نشان داده شده است. چنان که دیده می‌شود، بیشتر ذرات کروی هستند. برای مشاهده بهتر، به کمک دایره‌های قرمز چند ذره مشخص شده است. به طور میانگین اندازه ذرات حدود ۳۰ تا ۴۰ نانومتر است. ذرات با اندازه بسیار بزرگ و بسیار کوچک در تصویر TEM نمونه دیده نمی‌شود. به بیان دیگر، اندازه همه ذرات در یک گستره کوچک قرار دارد. این امر می‌تواند شاهدی بر سنتز موفقیت آمیز نمونه‌ها باشد.

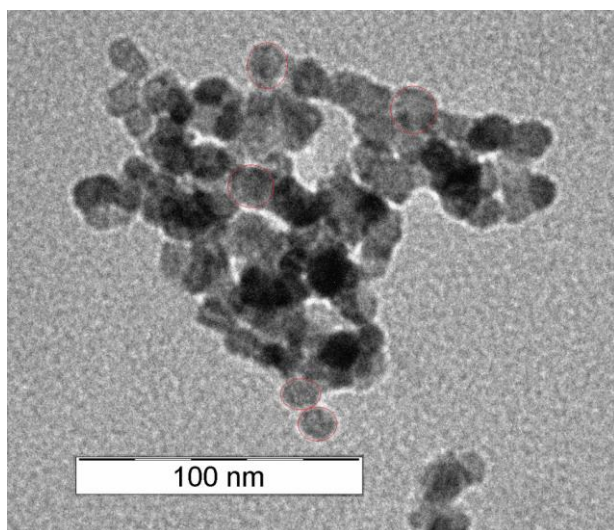
به دلیل پراکندگی بالا در نانوذرات، مناسب‌تر است که از روش بیناب‌سنجدی بازتابی پخشی برای بررسی ویژگی‌های نوری و برآورد گاف نوری نانوذرات استفاده کرد. در شکل ۶ الف، بیناب بازتاب نمونه‌ها آورده شده است. برای محاسبه گاف نوری نانوذرات سنتز شده، از روش کوبلکا-مونک و رابطه تاول استفاده شد.

$$(ahv)^n = c(hv - E_g) \quad (12)$$

که  $\alpha$  ضریب جذب،  $h\nu$  انرژی فوتون فرودی و  $n$  برای مواد با گاف مستقیم و غیرمستقیم به ترتیب ۲ و ۰/۵ است [۲۳، ۲۴]. گاف نوری مستقیم از رسم  $(ahv)^n$  نسبت به  $h\nu$  و برونویابی بخش خطی نمودار  $\alpha = h\nu$  تعیین شد (شکل ۶ ب). برای تیتانات زیرکونیوم سرب خالص و آلاییده شده با باریم گاف نوری مستقیم به ترتیب ۰/۴۷ و ۰/۵۰ الکترون ولت به دست



شکل ۶ (الف) نمودار بازتاب نوری نسبت به طول موج و (ب)  $(ahv)^n$  برای نانوپودرهای سنتز شده.

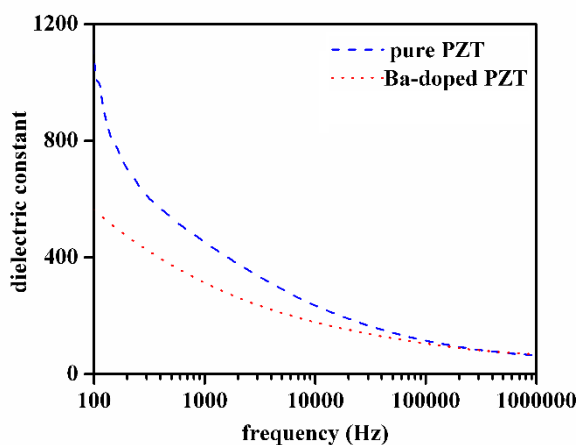


شکل ۷ تصویر TEM نانوپودر تیتانات زیرکونات سرب خالص سنتز شده.

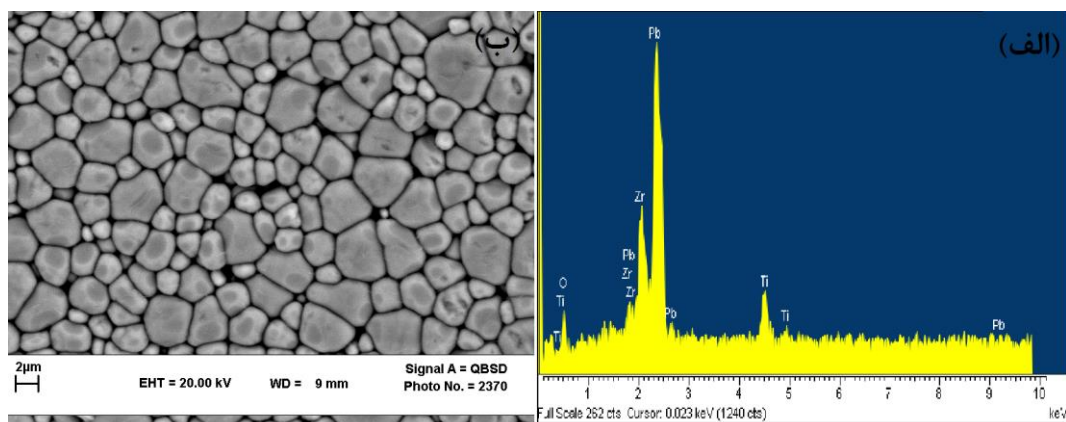
در بسامد ۱۰۰ هرتز برابر با ۸۲۸ گزارش کردند [۱۱]. همچنین آلام و همکارانش ثابت دی الکتریک PZT در ۱۰۰ هرتز را، ۳۶۰ به دست آوردند [۱۰]. بالاتر بودن ثابت دی-الکتریک نمونه‌ها در این پژوهش در مقایسه با گزارش‌های دیگران می‌تواند به دلیل چگالش بهتر آن‌ها باشد.

در شکل ۹ تصویر میکروسکوپ الکترونی روبشی (SEM) از سطح قرص تهیه شده از نانوذرات تیتانات زیرکونات سرب خالص به همراه طیف پراکنده انبزی پرتو ایکس (EDX) آن آورده شده است. آماده سازی نمونه در کیفیت تصویر بسیار مهم است. که در اینجا، نخست سطح قرص با سمباده‌های با درجه زبری مختلف پرداخت شد و پس از شستشو با الکل، خوردنگی گرمایی انجام شد. در شکل ۹، میانگین اندازه دانه‌ها حدود ۲ تا ۳ میکرومتر است و مرز دانه‌ها به خوبی دیده می‌شود. نمودار EDX نمونه نیز وجود عناصر سرب، زیرکونیوم و تیتانیوم را تایید می‌کند.

برای اندازه‌گیری‌های الکتریکی، سطوح قرص‌ها نخست با الکل شستشو داده و سپس با چسب نقره الکترودگذاری شد. برای برقراری اتصال بهتر، نمونه‌ها در کوره با دمای ۱۵۰ درجه سانتیگراد به مدت ۳۰ دقیقه گرمادهی شدند. ثابت دی‌الکتریک نمونه‌ها با دستگاه LCR سنج در گسترده‌ی بسامدی ۱۰۰ هرتز تا ۱۰۰۰ کیلو هرتز اندازه‌گیری شد. شکل ۸ نمودار مقایسه‌ای تغییرات ثابت دی‌الکتریک نمونه‌ها را در دمای اتفاق نشان می‌دهد. چنان که دیده می‌شود، ثابت دی‌الکتریک با افزایش بسامد به شدت کاهش یافته و سپس تقریباً ثابت می‌شود. این کاهش به دلیل کاهش اثر قطبیدگی بار فضایی است [۲۵]. بالا بودن ثابت دی‌الکتریک در بسامدهای پایین به دلیل وجود قطبیش بار فضایی در مرز دانه‌هاست. ثابت دی‌الکتریک در بسامدهای ۱۰۰ هرتز و یک کیلوهertz برای نمونه تیتانات زیرکونات سرب خالص به ترتیب ۱۰۵۰ و ۴۶۵ و همچنین برای نمونه آلاییده شده با باریم به ترتیب ۵۷۰ و ۳۱۰ به دست آمد. سامانتا و همکارانش ثابت دی‌الکتریک  $Pb(Zr_{0.52}Ti_{0.48})O_3$  را



شکل ۸ تغییرات ثابت دی‌الکتریک نسبت به بسامد برای نمونه‌های تهیه شده.



شکل ۹ (الف) نمودار EDX و (ب) تصویر SEM قرص تهیه شده از نانوپودر تیتانات زیرکونات سرب خالص.

- [6] Omran K., Mostafa M., Abd El-sade M., Hemeda O., Ubic R., "Effects of Ca doping on structural and optical properties of PZT nanopowders", *Results in Physics*, 19 (2020) 103580.
- [7] Khorrami G.H., Zak A.K., Kompany A., "Optical and structural properties of X-doped (X= Mn, Mg, and Zn) PZT nanoparticles by Kramers-Kronig and size strain plot methods", *Ceramics International*, 38 (2012) 5683-5690.
- [8] Khorrami G.H., Zak A.K., Banihashemian S., "Magnetic and dielectric properties on sol-gel combustion synthesis of Pb (Zr<sub>0.52</sub>, Ti<sub>0.43</sub>X<sub>0.05</sub>) O<sub>3</sub> (X= Fe, Ni, and Co) nanoparticles", *Advanced Powder Technology*, 25 (2014) 1319-1324.
- [9] Roy-Chowdhury P., Deshpande S.B., "Effect of dopants on the microstructure and lattice parameters of lead zirconate-titanate ceramics", *Journal of materials science*, 22 (1987) 2209-2215.
- [10] Alam I., Sa K., Das S., Subramanyam B.V.R.S., Raiguru J., Samanta J., Kumar J., Mahanandia P., "Dielectric Behavior of PZT/Graphene Oxide Composites", *physica status solidi (a)*, 216 (2019) 1900108.
- [11] Samanta S., Sankaranarayanan V., Sethupathi K., "Band gap piezoelectricity and temperature dependence of differential permittivity and energy storage density of PZT with different Zr/Ti ratios", *Vacuum*, 156 (2018) 456-462.
- [12] Longo V., Silva V., De Figueiredo A., Franco R., Vila C., Cilense M., Varela J.A., Longo J.A., Andres J., "Photoluminescence in quasi-amorphous Pb<sub>0.8</sub>X<sub>0.2</sub>Zr<sub>0.53</sub>Ti<sub>0.47</sub>O<sub>3</sub> (X= Ca, Sr and Ba) powders: An optical and structural study", *Chemical Physics Letters*, 475 (2009) 96-100.
- [13] Naqvi S.R., Tariq R., Hameed Z., Ali I., Naqvi M., Chen W.-H., Ceylan S., Rashid H., Ahmad J., Taqvi S.A., Shahbaz M., "Pyrolysis of high ash sewage sludge: Kinetics and thermodynamic analysis using Coats-Redfern method", *Renewable Energy*, 131 (2019) 854-860.
- [14] Babushkin O., Lindbäck T., Brooks K., Setter N., "PZT phase formation monitored by high-temperature X-ray diffractometry", *Journal of the European Ceramic Society*, 17 (1997) 813-818.
- [15] Khajelakzay M., Taheri-Nassaj E., "Crystallization kinetics and growth mechanism of Pb (Zr<sub>0.52</sub>, Ti<sub>0.48</sub>) O<sub>3</sub> nanopowders", *Applied Physics A*, 116 (2014) 179-183.

### برداشت

نانوذرات تیتانات زیرکونات سرب خالص و آلاییده شده با باریم به روش سل-ژل احتراقی با موفقیت سنتز شدند. نتایج پراش پرتو ایکس نشان داد که نمونه‌ها دارای ساختار بلوری چارگوشی هستند و هیچ فاز ناخواسته‌ای وجود ندارد. افروزنده باریم به ترکیب باعث جابه‌جایی قله‌های پراش و کاهش شدت آنها شد که می‌تواند نشان‌دهنده کاهش بلورینگی باشد. ثابت-های شبکه با استفاده از روش کوهن و با در نظر گرفتن خطاهای سامان‌مند در مشخصه‌یابی به روش پراش پرتو ایکس محاسبه شد. بیناب‌های تبدیل فوریه فروسرخ نمونه‌ها نیز تشکیل ساختار پروسکایت را تایید کردند. ضریب شکست و مدهای اپتیکی عرضی و طولی نمونه‌ها با استفاده از روابط کرامرز-کرونیک محاسبه گردید. براساس اندازه‌گیری‌های الکتریکی، افزودن باریم منجر به کاهش ثابت دیالکتریک شده است. این مواد می‌توانند در ابزارهای اپتوالکترونیکی استفاده شوند.

### قدرتانی

نویسنده‌گان از عوامل اجرایی مجله بلور شناسی و کانی شناسی ایران تشکر و قدردانی می‌نمایند.

### مراجع

- [1] Ghasemifard M., Hosseini S., Zak A.K., Khorrami G.H., "Microstructural and optical characterization of PZT nanopowder prepared at low temperature", *Physica E: Low-dimensional Systems and Nanostructures*, 41 (2009) 418-422.
- [2] Ghasemifard M., Hosseini S., Khorrami G.H., "Synthesis and structure of PMN-PT ceramic nanopowder free from pyrochlore phase", *Ceramics International*, 35 (2009) 2899-2905.
- [3] Khorrami G. H., Kompany A., Khorsand Zak A., "Structural and optical properties of (K,Na)NbO<sub>3</sub> nanoparticles synthesized by a modified sol-gel method using starch media", *Advanced Powder Technology*, 26 (2015) 113-118.
- [4] Khorrami G.H., Kompany A., Zak A.K., "A facile sol-gel approach to synthesize KNN nanoparticles at low temperature", *Materials Letters*, 110 (2013) 172-175.
- [5] Khorrami G.H., Mousavi M., Dowran M., "Structural and optical properties of KNN nanoparticles synthesized by a sol-gel combustion method", *Modern Physics Letters B*, 31 (2017) 1750175.

- PZT nanotubes fabricated by sol-gel method and porous anodic alumina with high aspect ratio*, International Journal of Modern Physics B, 32 (2018) 185009.
- [22] Khorrami G.H., Kompany A., Zak A.K., "Structural and optical properties of KNN nanocubes synthesized by a green route using gelatin", Functional Materials Letters, 8 (2015) 1550030.
- [23] Mirsalari, Tahanpesar, Sanaeishoar, "Influence of temperature on green synthesis of cobalt oxide nanoparticles by sol-gel method and investigation of its structural and optical properties, Iranian Journal of Crystallography and Mineralogy, 30 (2022) 535-542.
- [24] Rayssi C., Kossi S.E., Dhahri S.E., Khirouni K., "Frequency and temperature-dependence of dielectric permittivity and electric modulus studies of the solid solution  $\text{Ca}_{0.85}\text{Er}_{0.1}\text{Ti}_{1-x}\text{Co}_{4x/3}\text{O}_3$  ( $0 \leq x \leq 0.1$ )", Rsc Advances, 8 (2018) 17139-17150.
- [25] Pakizeh E., "Optical response and structural properties of Fe-doped Pb<sub>(Zr<sub>0.52</sub>Ti<sub>0.48</sub>)</sub>O<sub>3</sub> nanopowders", Journal of Materials Science: Materials in Electronics, 31 (2020) 4872-4881.
- [16] de Campos M.F., Damasceno J.C., Machado R., Achete C.A., "Uncertainty estimation of lattice parameters measured by X-Ray diffraction, XVIII IMEKO WORLD CONGRESS Metrology for a Sustainable Development September", (2006) 17-22.
- [17] "Study of structural, optical, and sensory ethanol properties of tin oxide nanoparticles synthesized by microwave method", Iranian Journal of Crystallography and Mineralogy, 29 (2021) 677-688.
- [18] Khorrami g., Mousavi M., "Effect of gelatin on structural properties of lead-free piezoelectric ( $\text{K}_{0.5}\text{Na}_{0.5}$ ) NbO<sub>3</sub> nanopowders synthesized by a modified sol-gel route in gelatin media", Iranian Journal of Crystallography and Mineralogy, 25 (2017) 647-654.
- [19] Ungar T., "Microstructural parameters from X-ray diffraction peak broadening", Scripta Materialia, 51 (2004) 777-781.
- [20] Pakizeh E., Moradi M., "Effect of particle size on the optical properties of lead zirconate titanate nanopowders", Journal of the American Ceramic Society, 101 (2018) 335-345.
- [21] Pakizeh E., Moradi M., "Kramers-Kronig method for determination of optical properties of